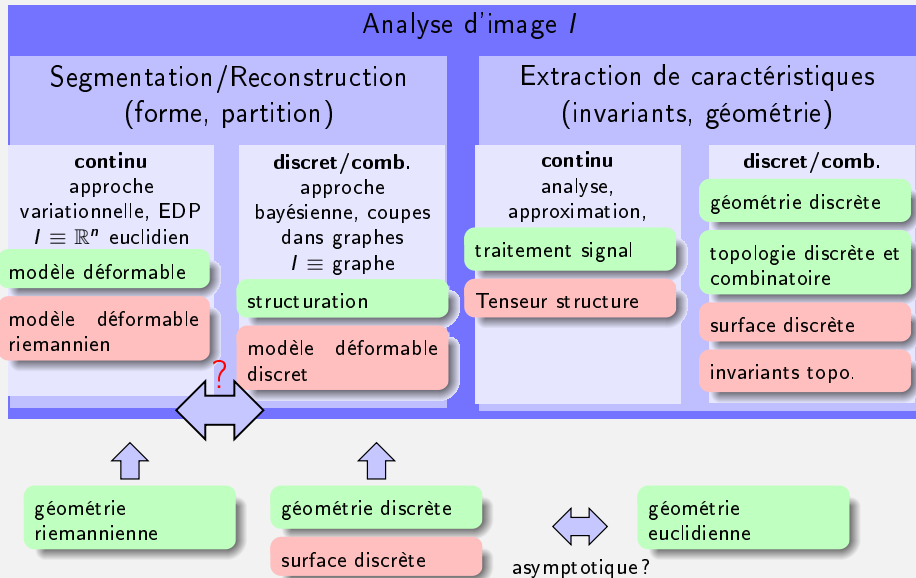


Espaces non-euclidiens et analyse d'image : modèles déformables riemanniens et discrets, topologie et géométrie discrète

Jacques-Olivier Lachaud¹

¹LaBRI - Université Bordeaux 1

soutenance d'HdR - 6 décembre 2006



- 1 Contexte et motivations : modèles déformables
- 2 Modèle déformable en géométrie riemannienne
- 3 Modèle déformable en géométrie discrète
- 4 Surfaces discrètes : représentation, géométrie, topologie
- 5 Géométrie discrète asymptotique

- 1 Contexte et motivations : modèles déformables
- 2 Modèle déformable en géométrie riemannienne
- 3 Modèle déformable en géométrie discrète
- 4 Surfaces discrètes : représentation, géométrie, topologie
- 5 Géométrie discrète asymptotique

Segmentation d'image par modèles déformables

- recherche d'une composante significative dans une image I
 - approche basée contours, sans *a priori* sur la forme finale
- ⇒ problème assez difficile

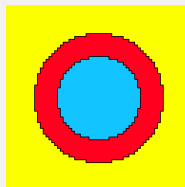
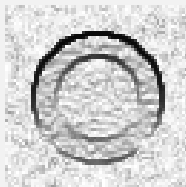
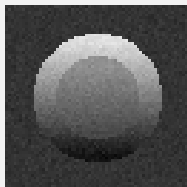
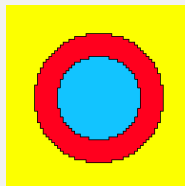
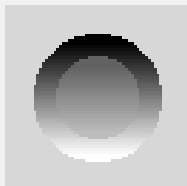


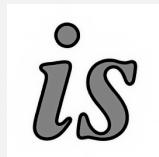
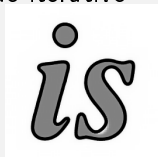
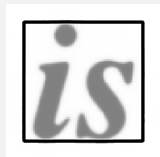
Image I

gradient $|\nabla I|$

segmentation idéale

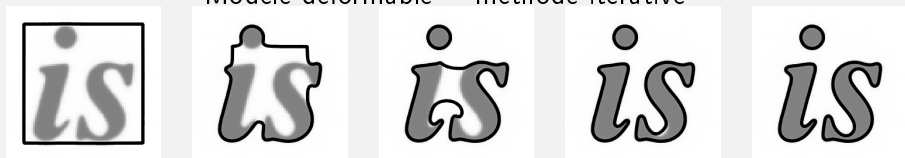
Segmentation d'image par modèles déformables

Modèle déformable = méthode itérative



Segmentation d'image par modèles déformables

Modèle déformable = méthode itérative



Modèle déformable

Approche variationnelle

= Famille de formes + critère(forme, I) + optimisation

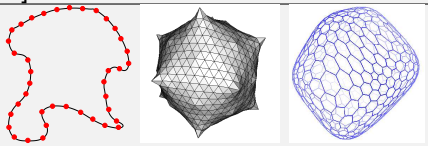
Critère

balance adéquation avec l'image et régularité de la forme

critère(forme, I) = adéquation(forme, I) + régularité(forme)

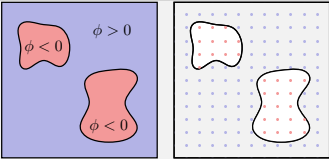
Applications en vision, imagerie médicale, vidéo, synthèse d'image, ...

Modèles déformables : approches classiques

catégorie	Explicite (snakes, etc.)
Formes (2D)	courbe/surface paramétrée et/ou échantillonnée $C : [0, 1] \rightarrow \mathbb{R}^2$
Exemple	
Critère	$\int_C \underbrace{\alpha C'(s) ^2 + \beta C''(s) ^2}_{\text{régularisation}} + \underbrace{P(I, C(s))}_{\text{adéquation}} ds$
Optimisation	$\gamma C_t = \underbrace{-2\alpha C'' + 2\beta C^{(4)}}_{\text{régularisation}} - \nabla P$

[Kass *et. al.* 87, Terzopoulos *et. al.* 88, Cohen 91, ...]

Modèles déformables : approches classiques

catégorie	Implicite (level-sets)
Formes (2D)	courbe/surface implicite échantillonnée $\Phi : \mathbb{R}^2 \rightarrow \mathbb{R}, S = \{\Phi = 0\}$
Exemple	
Critère	(contour actif géodésique) $\int_S \underbrace{g(l, S)}_{\text{régularisation}} ds$ <small>adéquation</small>
Optimisation	$\Phi_t = g(l, \cdot) (c_0 + \underbrace{\kappa}_{\text{régularisation}}) \nabla \Phi + \nabla g \cdot \nabla \Phi$

[Caselles *et. al.* 93, Malladi *et. al.* 94, Caselles *et. al.* 97, Yezzi 97, ...]

Modèles déformables : complexité

Image I , de taille N^d . Forme C d'aire $|C|$. Pas h . $P = \frac{|C|}{h^{d-1}}$.

catégorie	explicite (snakes, etc.)	implicite (level-sets)
nb de variables	$P \approx \Theta(N^{d-1})$	N^d
déplacement	P	N^d [Osher Sethian88] $K_1 P$ [Adalsteinson95] $K_2 P \log P$ [Strain99]
changement de topologie	N^d (T-snake, [McIT95,97]) P (2D, maille simplexe [DM99]) $P \log P$ (2-3D δ -snake [LM99]) $P \log P$ (2-4D simpliciale [BLS03])	naturel
En résumé	au mieux $\Theta(N^{d-1})$	au mieux $\Theta(N^{d-1})$

Première problématique : complexité en temps

complexité / itération : fct nb de variables
× nb d'itérations : fct init., vitesse déplacement
= complexité segmentation

Comment rendre cette complexité plus indépendante de celle de l'image ?

- meilleure initialisation (spécifique à l'application)
- approche multirésolution [Elomary 94, Ronfard 94, ...]
- adaptabilité locale [Delingette 94, Bredno *et. al.* 03, ...]
- augmentation pas d'intégration [Weickert *et. al.* 03, ...]
- amélioration des forces [Xu Prince 98, ...]

Conclusion : nb de variables \propto résolution de I , déplacement max $< \frac{h}{2}$
 \Rightarrow complexité très dépendante de la résolution de I

Deuxième problématique : minimum local \neq optimum

évolution EDP \Rightarrow extraction d'un minimum **local**

Comment espérer trouver l'optimum dans l'espace des formes ?

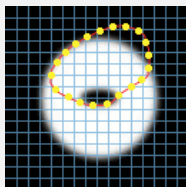
- initialisation (spécifique à l'application)
- « convexification » fonctionnelle [Zhu Yuille 96, Jehan-Besson *et. al.* 03, ...]
- optimum dans des cas particuliers [Cohen Kimmel 97, Deschamps Cohen 01, Ardon Cohen 05]
- discrétisation partielle + programmation dynamique [Amini *et. al.* 90, Tagare 97, Gunn 97, ...]
- méthodes combinatoires de segmentation : qqs résultats d'**optimalité**

Conclusion : version combinatoire des modèles déformables ?

Démarche : changement de la géométrie

Indépendance
complexité et
résolution ?

Géométrie
riemannienne



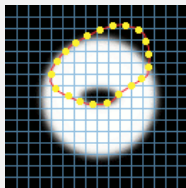
Géométrie
euclidienne

Analogie combina-
toire des modèles dé-
formables ?

Géométrie
discrète

Démarche : changement de la géométrie

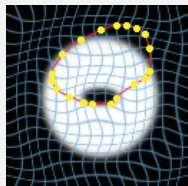
Indépendance
complexité et
résolution ?



Analogie combina-
toire des modèles dé-
formables ?

Géométrie
discrète

Géométrie
riemannienne

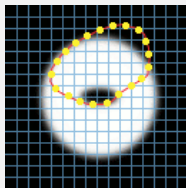


Géométrie riemannienne

Déformer l'espace pour densité adaptée à l'information image.

Démarche : changement de la géométrie

Indépendance
complexité et
résolution ?



Analogie combina-
toire des modèles dé-
formables ?

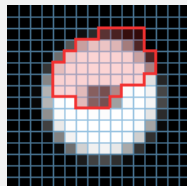
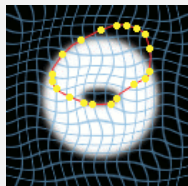
Géométrie
riemannienne



Géométrie
euclidienne



Géométrie
discrète



Géométrie discrète

Estimateurs géométriques discrets pour approcher formulation variationnelle.

- 1 Contexte et motivations : modèles déformables
- 2 Modèle déformable en géométrie riemannienne**
- 3 Modèle déformable en géométrie discrète
- 4 Surfaces discrètes : représentation, géométrie, topologie
- 5 Géométrie discrète asymptotique

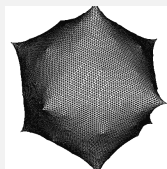
Modèle déformable riemannien : principe

Problématique

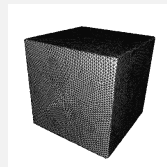
Réduire le nombre de variables, diminuer le nombre d'itérations.

Idée directrice

- concentrer l'effort de calcul au voisinage des zones d'intérêt
- adapter la densité des variables selon la position dans l'image
- utiliser la géométrie riemannienne, qui peut déformer l'espace



(euclidien)
itérations ...



densité de variables **uniforme** dans l'espace **euclidien**

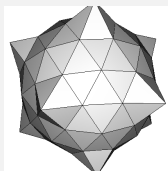
Modèle déformable riemannien : principe

Problématique

Réduire le nombre de variables, diminuer le nombre d'itérations.

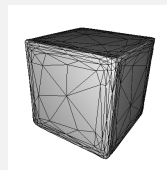
Idée directrice

- concentrer l'effort de calcul au voisinage des zones d'intérêt
- adapter la densité des variables selon la position dans l'image
- utiliser la géométrie riemannienne, qui peut déformer l'espace



(riemannien)

itérations ...

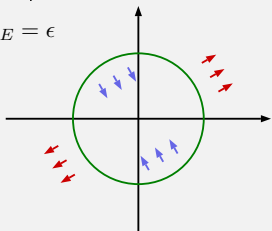


densité de variables **uniforme** dans l'espace **riemannien**
adaptative dans l'espace **euclidien**

Géométrie riemannienne : déformer l'espace

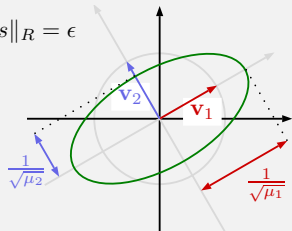
Norme/produit scalaire variable en tout point de l'espace \mathbb{R}^n

$$\|ds\|_E = \epsilon$$



euclidien

$$\|ds\|_R = \epsilon$$



riemannien au point \mathbf{x}

$$ds^2 = (dx^1 \dots dx^n) \times^T (dx^1 \dots dx^n) \quad (dx^1 \dots dx^n) \times G(\mathbf{x}) \times^T (dx^1 \dots dx^n)$$

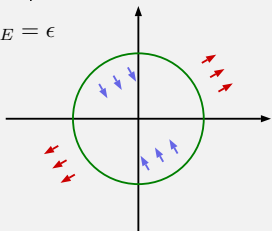
où la matrice G , symétrique, définie positive, dépend de l'origine \mathbf{x} du déplacement, de valeurs/vecteurs propres (μ_i, \mathbf{v}_i) .

- application $\mathbf{x} \mapsto G(\mathbf{x})$ appelée **métrique**
- longueur chemin $\gamma : L_R(\gamma) = \int_{t_0}^{t_1} \sqrt{\gamma'(t) \times G(\gamma(t)) \times \gamma'(t)} dt$
- distance de u à v $d_R(u, v)$: plus court chemin riemannien

Géométrie riemannienne : déformer l'espace

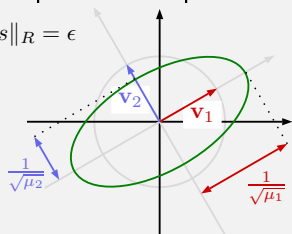
Norme/produit scalaire variable en tout point de l'espace \mathbb{R}^n

$$\|ds\|_E = \epsilon$$



euclidien

$$\|ds\|_R = \epsilon$$



riemannien au point \mathbf{x}

$$d\mathbf{s}^2 = (dx^1 \dots dx^n) \times {}^T(dx^1 \dots dx^n) \quad (dx^1 \dots dx^n) \times G(\mathbf{x}) \times {}^T(dx^1 \dots dx^n)$$

où la matrice G , symétrique, définie positive, dépend de l'origine \mathbf{x} du déplacement, de valeurs/vecteurs propres (μ_i, \mathbf{v}_i) .

Définition de la métrique G

En tout point de l'image, choix de

- n directions orthogonales $\mathbf{v}_1, \dots, \mathbf{v}_n$
- n coefficients de dilatation μ_1, \dots, μ_n

MD sensible à une métrique



- Modèle déformable initial [Lachaud Montanvert 99]

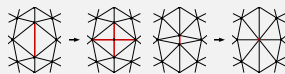


- Adaptation de topologie basée *distance euclidienne* d_E
sommets contrainte

(u, v) voisins

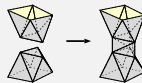
$$\delta \leq d_E(u, v) \leq \zeta \delta$$

si non-satisfaite



(u, v) non-voisins

$$\lambda \zeta \delta \leq d_E(u, v)$$



Substitution de d_E par une mesure riemannienne d_R

- ▶ **sur-estimer** distances autour des zones d'intérêt \Rightarrow densité **plus grande**
- ▶ **sous-estimer** distances partout ailleurs \Rightarrow densité **plus faible**

Métrie riemannienne adaptée à l'image



- Construction *automatique* de la métrique
- Approche contour : structures pertinentes autour contours forts

contour en x

intensité s

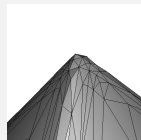
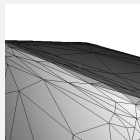
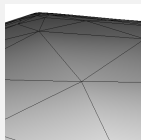
courbures κ_1, κ_2

directions $\mathbf{n}, \mathbf{t}_1, \mathbf{t}_2$



métrique en x

$$\left. \begin{array}{l} \mu_1 \propto s^2 \\ \mu_2 \propto \kappa_1^2 \mu_1 \\ \mu_3 \propto \kappa_2^2 \mu_1 \end{array} \right\} \begin{array}{l} \mathbf{v}_1 = \mathbf{n} \\ \mathbf{v}_2 = \mathbf{t}_1 \\ \mathbf{v}_3 = \mathbf{t}_2 \end{array} \right] G(\mathbf{x})$$



faible densité

Estimation de la géométrie de l'image



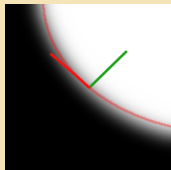
$\forall \mathbf{x}$, calculer gradient \mathbf{sn} et courbures $\kappa_1 \mathbf{t}_1$ et $\kappa_2 \mathbf{t}_2$ de l'isophote passant par \mathbf{x} sur l'image I .

- classiquement filtres dérivatifs [Monga et. al. 95, Rieger et. al. 02]
- diagonalisation** tenseur de structure [Kass Witkin 87]
 $Q_{\rho, \sigma} : \mathbf{v} \mapsto \mathbf{g}_\rho * (\mathbf{v} \cdot \nabla (\mathbf{g}_\sigma * I))^2$ vecteurs / valeurs propres
 $Q_{\rho, \sigma} : \mathbf{v} \mapsto {}^T \mathbf{v} \times J_{\rho, \sigma} \times \mathbf{v}$ $(\mathbf{w}_1, \mathbf{w}_2, \mathbf{w}_3) / (\xi_1, \xi_2, \xi_3)$

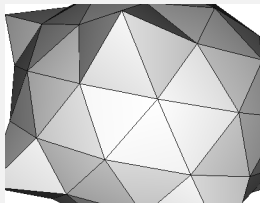
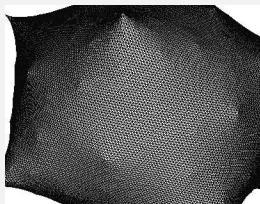
Theorem (Courbures par diagonalisation)

contour **idéal** de tenseur $J_{\rho, \sigma}$ alors

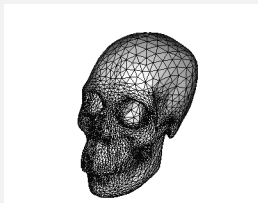
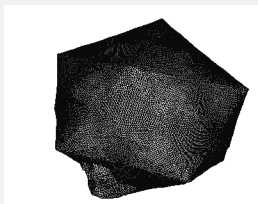
- directions principales $(\mathbf{n}, \mathbf{t}_1, \mathbf{t}_2) =$ vecteurs propres
- intensité s , courbures principales κ_1 et κ_2
 $\xi_1 = s^2$ $\xi_2 = \rho^2 s^2 \kappa_1^2$ $\xi_3 = \rho^2 s^2 \kappa_2^2$



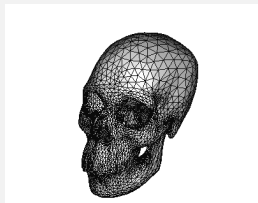
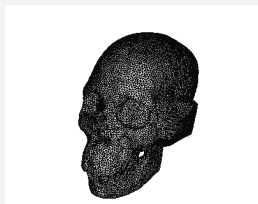
Réduction du nombre de sommets et du nombre d'itérations



Initialisation



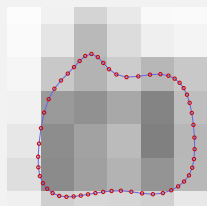
Itération 100



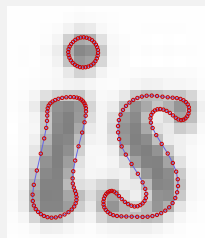
Itération 200

Influence de la résolution

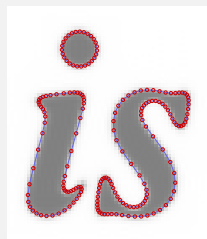
- Même image, échantillonnée à des fréquences croissantes.



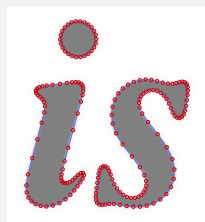
10 × 10



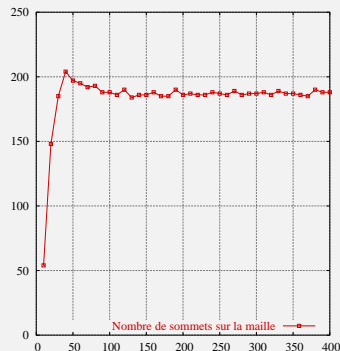
30 × 30



100 × 100



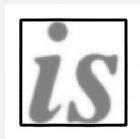
400 × 400



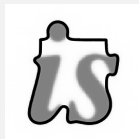
NbSommets(résolution)

Comparaison avec l'approche multi-résolution

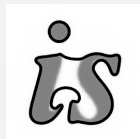
- approche classique (densité uniforme, résolution fine) : 10,14s, 458 sommets



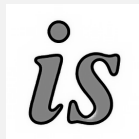
it. 100



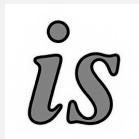
it. 200



it. 300



it. 400



it. 900

- approche multi-résolution (densité uniforme, résolution progressive) : 9,23s, 392 sommets
- approche riemannienne (densité adaptative) : 1,73s, 150 sommets

Comparaison avec l'approche multi-résolution

- approche classique (densité uniforme, résolution fine) : 10,14s, 458 sommets
- approche multi-résolution (densité uniforme, résolution progressive) : 9,23s, 392 sommets



8 × 8

it. 310

0,08s



16 × 16

it. +810

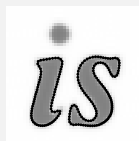
0,40s



32 × 32

it. +760

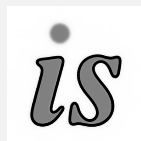
0,87s



64 × 64

it. +1020

3,10s



128 × 128

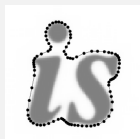
it. +510

4,78s

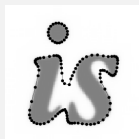
- approche riemannienne (densité adaptative) : 1,73s, 150 sommets

Comparaison avec l'approche multi-résolution

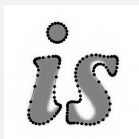
- approche classique (densité uniforme, résolution fine) : 10,14s, 458 sommets
- approche multi-résolution (densité uniforme, résolution progressive) : 9,23s, 392 sommets
- approche riemannienne (densité adaptative) : 1,73s, 150 sommets



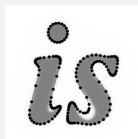
it. 25



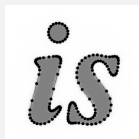
it. 50



it. 75

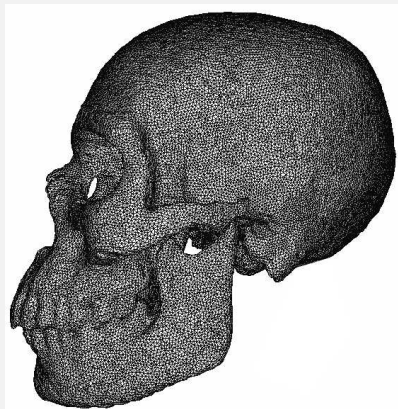


it. 100

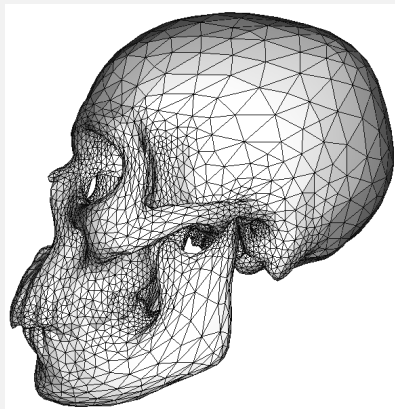


it. 280

Evaluation sur scanner



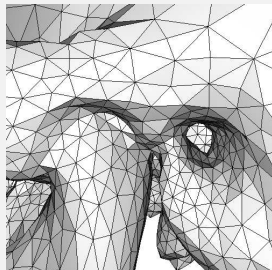
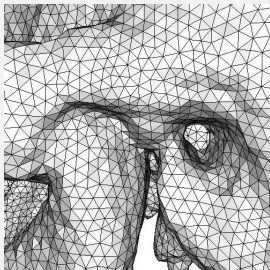
Uniforme fin



Adaptatif



Vue inférieure de la
mâchoire



Vue latérale de l'oreille

	Uniforme	Adaptatif
Sommets	142.340	15.936
Itérations	900	500
Temps de calcul	3h22min	22min (+3min 49s)

Discussion

- modèle hautement déformable à densité adaptative : $\approx 10\times$ moins de sommets, $\approx 5\times$ moins d'itérations, entre 3 à 10 fois + rapide
- complexité dépendante de la **géométrie** de l'image
- nouvel estimateur de courbure(s) image : robuste, précis, comparativement rapide

Thèse de Benjamin Taton [2004]

[Computer Vision Image Understanding 2005]

[ECCV02,3DIM03,ICPR04]

- 1 Contexte et motivations : modèles déformables
- 2 Modèle déformable en géométrie riemannienne
- 3 Modèle déformable en géométrie discrète**
- 4 Surfaces discrètes : représentation, géométrie, topologie
- 5 Géométrie discrète asymptotique

Approches combinatoires de la segmentation

segmentation de l'image I par minimisation

- segmentation = étiquetage f en N classes
- partitions f (nb fini) + critère(partition, I)
+ optimisation



I



$N = 2$



$N > 2$

Approches combinatoires de la segmentation

segmentation de l'image I par minimisation

- segmentation = étiquetage f en N classes
- partitions f (nb fini) + critère(partition, I) + optimisation



I

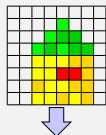


$N = 2$

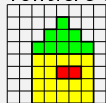


$N > 2$

- minimisation d'énergie sur un graphe (V, W)
optimum à $t = +\infty$ [Geman 87], **optimum** pour $N = 2$ [Greig et. al. 89], $2 \times$ **optimum** [Boykov et. al. 01]
- discrétisation d'approx. par morceaux [Mumford Shah 89]
optimum sur pyramide causale [Guigues et. al. 03]
- division-fusion, pyramides adaptatives, ligne de partage des eaux, variantes discrètes des modèles déformables,
...



Frontière Γ



Approches combinatoires de la segmentation

segmentation de l'image I par minimisation

- segmentation = étiquetage f en N classes
- partitions f (nb fini) + critère(partition, I)
+ optimisation



I



$N = 2$



$N > 2$

Approches combinatoires / variationnelles : optimalité

Plusieurs algorithmes intéressants vis-à-vis optimalité

Approches combinatoires de la segmentation

segmentation de l'image I par minimisation

- segmentation = étiquetage f en N classes
- partitions f (nb fini) + critère(partition, I) + optimisation



I

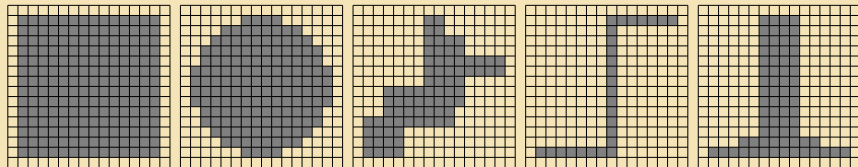


$N = 2$



$N > 2$

Approches combinatoires / variationnelles : régularisation



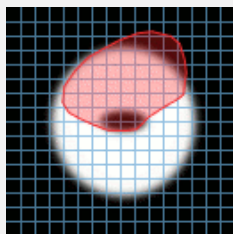
Régularisation simpliste : valeur du critère **identique** sur toutes ces formes

Analogie combinatoire des modèles déformables avec meilleure régularisation ?

Processus de discrétisation Dig

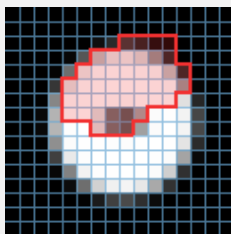
Discrétisation de Gauss $\text{Dig}_G : X \mapsto X \cap (\mathbb{Z} \times \mathbb{Z})$

Discrétisation de Gauss de pas h $\text{Dig}_G : X, h \mapsto X \cap (h\mathbb{Z} \times h\mathbb{Z})$



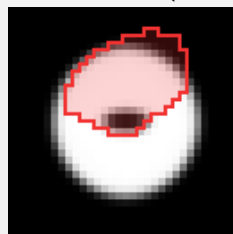
X

$E(X)$



$O_h = \text{Dig}_G(X, h)$

$E(O_h)$



$O_{\frac{h}{2}} = \text{Dig}_G(X, \frac{h}{2})$

$E(O_{\frac{h}{2}})$

...

...

...

Modèle déformable discret *asymptotiquement euclidien*

Peut-on garantir que l'énergie discrète tende vers l'énergie continue lorsque le pas de grille h tend vers 0 ?

Modèle déformable discret

- Energie d'un modèle déformable type *snake*

courbe param. C $E(C) = \int_C \alpha |C'(u)|^2 + \beta |C''(u)|^2 + P(l, C(u)) du$

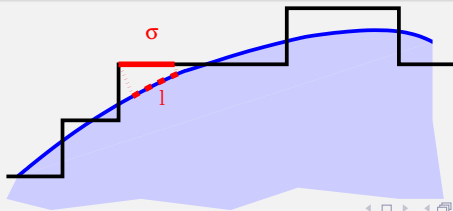
sous-ensemble $X \subset \mathbb{R}^2$ $E(X) = \int_{\text{bd } X} \alpha + \beta \kappa^2(s) + P(l, s) ds$

Modèle déformable discret 2D

Famille de formes $\mathcal{O} = \mathcal{P}(\mathbb{Z}^2)$

Forme discrète $O \in \mathcal{O}$: $E(O) = \sum_{\sigma \in \partial O} (\alpha + \beta \hat{\kappa}^2(\sigma) + P(l, \sigma)) \hat{l}(\sigma)$

- $\hat{l}(\sigma)$: longueur élémentaire estimée
- $\hat{\kappa}(\sigma)$: courbure estimée



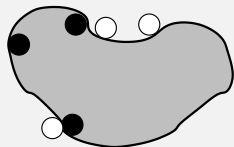
Projection et rétro-projection

- Application continue entre $\text{bd } X$ et $\text{bd } \text{Dig}_G(X, h)$?

Lemma (extension à Dig_G de [Latecki *et. al.* 98])

Si X est $\text{par}(r)$ -régulier, \exists homéomorphisme pour
 $h < \frac{\sqrt{10}}{5}r$

- projection de $\text{bd } X$ sur $\text{bd } \text{Dig}_G(X, h)$?
- rétro-projection π de $\text{bd } \text{Dig}_G(X, h)$ sur $\text{bd } X$: continue, surjective



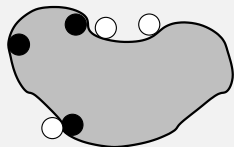
non

Projection et rétro-projection

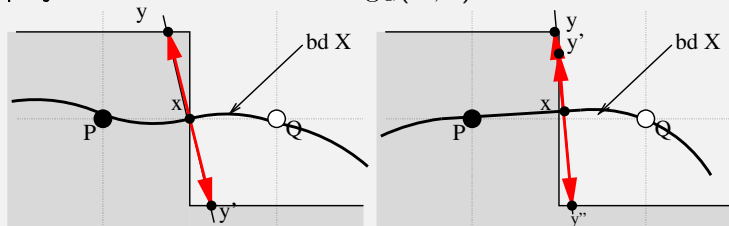
- Application continue entre $\text{bd } X$ et $\text{bd } \text{Dig}_G(X, h)$?

Lemma (extension à Dig_G de [Latecki et. al. 98])

Si X est $\text{par}(r)$ -régulier, \exists homéomorphisme pour $h < \frac{\sqrt{10}}{5}r$



- projection de $\text{bd } X$ sur $\text{bd } \text{Dig}_G(X, h)$?



non

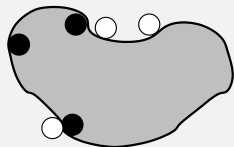
- rétro-projection π de $\text{bd } \text{Dig}_G(X, h)$ sur $\text{bd } X$: continue, surjective

Projection et rétro-projection

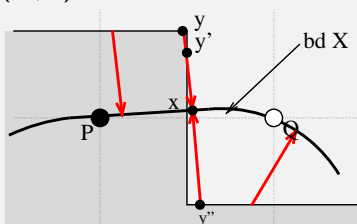
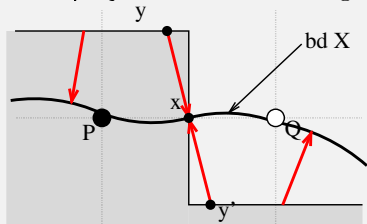
- Application continue entre $\text{bd } X$ et $\text{bd } \text{Dig}_G(X, h)$?

Lemma (extension à Dig_G de [Latecki et. al. 98])

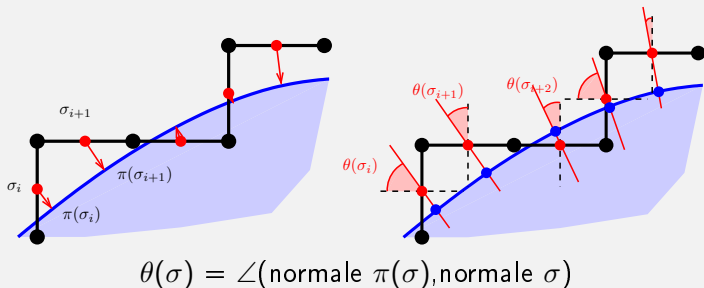
Si X est $\text{par}(r)$ -régulier, \exists homéomorphisme pour $h < \frac{\sqrt{10}}{5}r$



- projection de $\text{bd } X$ sur $\text{bd } \text{Dig}_G(X, h)$ non
- rétro-projection π de $\text{bd } \text{Dig}_G(X, h)$ sur $\text{bd } X$: continue, surjective



Modèle déformable discret asymptotiquement euclidien



Theorem

Le MD d'énergie $E(O) = \sum_{\sigma \in \partial O} (\alpha + \beta \hat{\kappa}^2(\sigma) + P(l, \sigma)) \hat{l}(\sigma)$ est asymptotiquement euclidien ssi

- 1 longueur élémentaire $\hat{l}(\sigma)/h$ tend vers $|\cos(\theta(\sigma))|$
- 2 courbure $\hat{\kappa}(\sigma)$ tend vers $\kappa(\pi(\sigma))$

Convergence des quantités estimées $\hat{\lambda}$ et $\hat{\kappa}$?

Peut-on construire un modèle déformable asymptotiquement euclidien ?

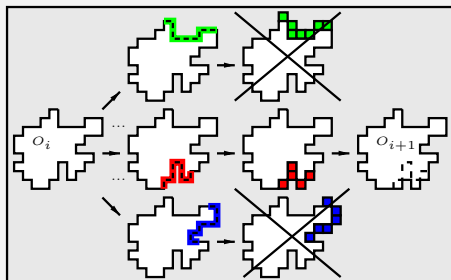
- convergence longueur élémentaire \Leftrightarrow convergence estimateur de tangente
- $\hat{\lambda}$: tangente symétrique $\hat{\theta}^{ST}$
- $\hat{\kappa}$: courbure par cercle circonscrit aux demi-tangentes $\hat{\kappa}^{CC}$
- estimateurs admis convergents dans un premier temps [Coeurjolly02]
- validation expérimentale

Validation expérimentale I

Test du MD discret à échelle fixée

- Algorithme de minimisation *a posteriori* (bulle déformable [Elomary Chassery 94])

- 1 expansion progressive dans la direction d'énergie minimale

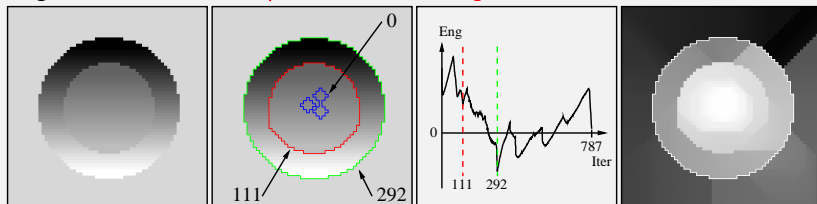


- 2 à la fin, extraction de la position intermédiaire optimale.

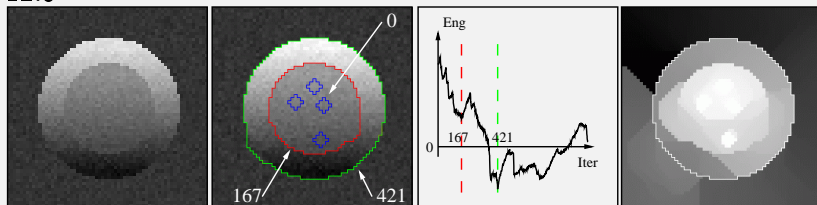
Validation expérimentale II

Test du MD discret à échelle fixée

1. Segmentation de **composantes inhomogènes** : $\alpha = 0.5$



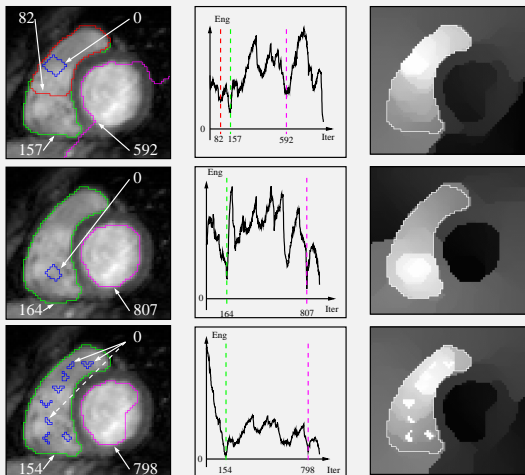
2. Robustesse au **bruit Gaussien** : $\alpha = 0.5$, bruit Gaussien d'écart-type 12.8



Validation expérimentale III

Test du MD discret à échelle fixée

3. Robustesse à l'initialisation (IRM cœur diastole)



Synthèse et problématiques induites

- discrétisation valide d'un modèle déformable géométrique
- extension nD naturelle
- approximation d'intégrales curvilignes sur des contours discrets

Représentation efficace des surfaces discrètes de \mathbb{Z}^n et calcul rapide d'estimations géométriques ?

Convergence d'estimateurs géométriques discrets de quantités géométriques locales ? Vitesse de convergence ?

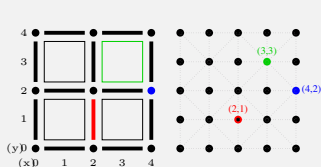
collaboration avec Anne Vialard
projet Jeunes chercheurs GdR-ISIS avec David Cœurjolly et Laure Tougne (LIRIS)

[IWVF01],[HdR06]

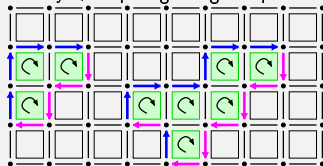
- 1 Contexte et motivations : modèles déformables
- 2 Modèle déformable en géométrie riemannienne
- 3 Modèle déformable en géométrie discrète
- 4 Surfaces discrètes : représentation, géométrie, topologie**
- 5 Géométrie discrète asymptotique

Surface discrètes nD : représentation, suivi, codage

- grille cellulaire \mathbb{C}^n : identification avec Khalimsky + topologie algébrique

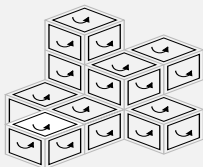


cellule = n coord. entières

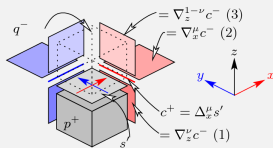


$$(\text{bord}) \Delta \sum(\text{voxels}^+) = \begin{matrix} (\sum \text{surfels}^+) \\ + (\sum \text{surfels}^-) \end{matrix}$$

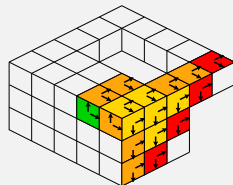
- voisinage, suivi de surface nD



surface = ΔVolume



(co-bord ∇)



$\Delta \Delta = 0$

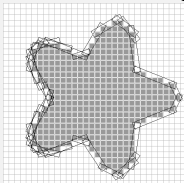
- codage : 1 cellule = 1 entier, opérateurs = $\{ |, \&, !, \ll, \gg \}^*$
 \Rightarrow Implémentation générique nD , très efficace, compacte

Géométrie des courbes 2D et surfaces discrètes nD

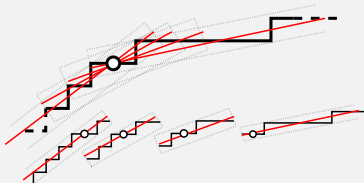
- estimateurs géométriques discrets basés segments de droites discrètes



forme de \mathbb{R}^2



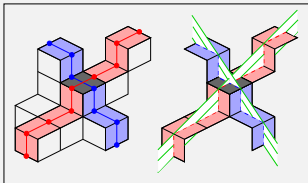
segments maximaux



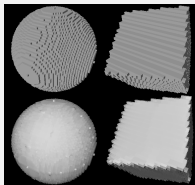
tangente $\hat{\theta} = \text{comb. convexe directions}$

Propriétés : précis, convexité respectée, isotrope, convergent, calcul en temps **optimal**

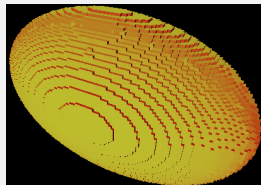
- estimateurs nD par croisement de géométries 2D



$n - 1$ chemins par surfel



normale \hat{n} orth. aux $(\hat{\theta}_i)$



Aire = $\sum_{\sigma} |\hat{n} \cdot \mathbf{e}_{\perp\sigma}|$

Collaboration avec Anne Vialard, thèse de François de Vieilleville
[DGCI03,DGCI05], [Image and Vision Computing 2006]

Topologie des surfaces combinatoires nD

- Surfaces nD ? : modèles combinatoires de subdivision de variétés
- résultats d'équivalences de modèles topologiques

n -G-cartes [Lienhardt94]

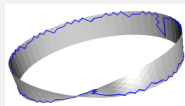
- ▶ $n + 1$ involutions sur des brins
- ▶ + simpliciales, connexes, fermées



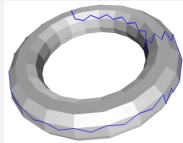
n -surfaces [Bertrand99]

- ▶ ordre partiel
- ▶ décomposition récursive

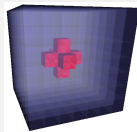
- calcul d'invariants topologiques sur les complexes cellulaires ($\Delta\Delta = 0$)
groupes d'homologie par mise en forme de Smith/Agoston [Agoston76]



Bande de Möbius



Tore



Cube avec cavité



thèse de Sylvie Alyrangues [2005]

Collaboration avec Pascal Lienhardt (SIC), Xavier Daragon (ESIEE),

Laurent Fuchs (SIC) et Samuel Peltier (SIC/PRIP)

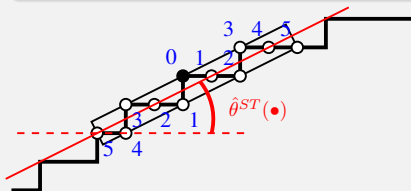
[CVWW02,IWCIA04,DGCI05], [Computers & Graphics 2006]

- 1 Contexte et motivations : modèles déformables
- 2 Modèle déformable en géométrie riemannienne
- 3 Modèle déformable en géométrie discrète
- 4 Surfaces discrètes : représentation, géométrie, topologie
- 5 Géométrie discrète asymptotique**

Estimateurs géométriques discrets et conv. multigrille

Definition (Estimateur géométrique discret)

Cherche à estimer une quantité géométrique de X à partir de sa seule discrétisation.



tangente symétrique (ST)

direction du plus long segment de droite discrète symétrique autour du point •

Convergence estimateur géométrique [Serra 82]

Soit une famille de formes F . L'estimateur géométrique $\hat{\epsilon}$ est **multigrille-convergent** pour F vers la mesure géométrique ϵ ssi

$$\forall X \in F, \lim_{h \rightarrow 0} |\hat{\epsilon}(\text{Dig}_G(X, h)) - \epsilon(X)| = 0$$

Résultats connus de convergence multigrille

Quantité	Forme de \mathbb{R}^2	technique	B. sup erreur	Ref
aire	C3-convexes	comptage	$O(h^{\frac{15}{11}+\epsilon})$	[Huxley90]
moments	C3-convexes	comptage	$O(h^{\frac{15}{11}+\epsilon})$	[Klette, Žunić00]
longueur	poly. conv.	polygonalisation	$\approx 4.5h$	[Kovalevsky, Fuchs92]
longueur	poly. conv.	“saucissonnage”	$\approx 5.844h$	[Klette et. al. 98]
longueur	C3-convexes	“Grid continuum”	$\approx 8h$	[Sloboda, Zatko96]
longueur	convexe	\int normales	(non connu)	[Coeurjolly02]

Quantités géométriques **locales**? (tangentes θ , courbures κ)

- lien avec *croissance* segments discrets avec $h \rightarrow 0$ [Coeurjolly02]
- tangente symétrique $\hat{\theta}^{ST}$ convergente vers tangente θ
... si segments discrets grandissent partout
- courbure par cercle circonscrit $\hat{\kappa}^{CC}$ convergente vers courbure κ
... si segments discrets grandissent en $O(\frac{1}{\sqrt{h}})$

Résultats connus de convergence multigrille

Quantité	Forme de \mathbb{R}^2	technique	B. sup erreur	Ref
aire	C3-convexes	comptage	$O(h^{\frac{15}{11}+\epsilon})$	[Huxley90]
moments	C3-convexes	comptage	$O(h^{\frac{15}{11}+\epsilon})$	[Klette, Žunić00]
longueur	poly. conv.	polygonalisation	$\approx 4.5h$	[Kovalevsky, Fuchs92]
longueur	poly. conv.	“saucissonnage”	$\approx 5.844h$	[Klette et. al. 98]
longueur	C3-convexes	“Grid continuum”	$\approx 8h$	[Sloboda, Zatko96]
longueur	convexe	\int normales	(non connu)	[Coeurjolly02]

Quantités géométriques **locales**? (tangentes θ , courbures κ)

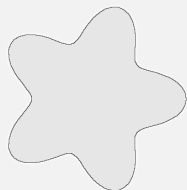
- lien avec *croissance* segments discrets avec $h \rightarrow 0$ [Coeurjolly02]
- tangente symétrique $\hat{\theta}^{ST}$ convergente vers tangente θ
 - ... si segments discrets grandissent partout faux
- courbure par cercle circonscrit $\hat{\kappa}^{CC}$ convergente vers courbure κ
 - ... si segments discrets grandissent en $O(\frac{1}{\sqrt{h}})$ faux

Croissance asymptotique des segments discrets

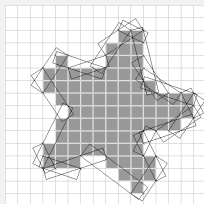
Méthodologie de preuve

Théorèmes de convergence d'estimateurs discrets

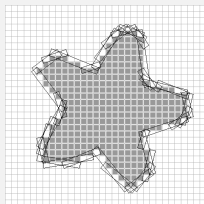
Preuves basées sur croissance asymptotique des segments de droites discrètes sur bord des discrétisés : **segments maximaux**



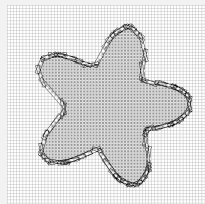
X



$\text{Dig}_G(X, 2)$



$\text{Dig}_G(X, 1)$



$\text{Dig}_G(X, 0, 5)$

Croissance asymptotique des segments discrets

Méthodologie de preuve

Théorèmes de convergence d'estimateurs discrets

Preuves basées sur croissance asymptotique des segments de droites discrètes sur bord des discrétisés : **segments maximaux**

Bornes asymptotiques en nombre et longueur des segments maximaux

- outils

- (DSS) segments de droites discrètes

- approches arithmétique et combinatoire

- (MS) segments maximaux sur un contour discret

- (CDP) polygones convexes discrets

- propriétés des MS sur CDP

- propriétés asymptotiques CDP \Rightarrow propriétés asymptotiques MS

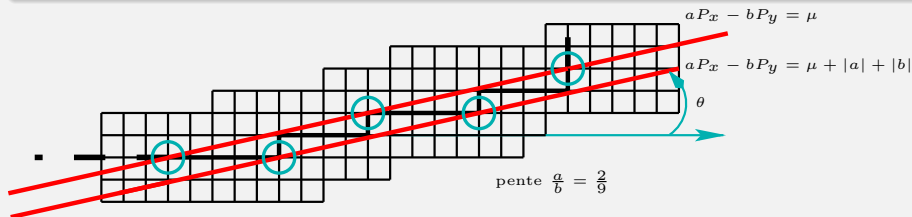
Segments de droites discrètes (DSS)

Approche arithmétique [Reveillès 91]

Definition

Un ensemble fini C de points 4-connexes sur la grille discrète \mathbb{Z}^2 est un segment de droite discrète (DSS) ssi $\exists(a, b, \mu)$ tels que

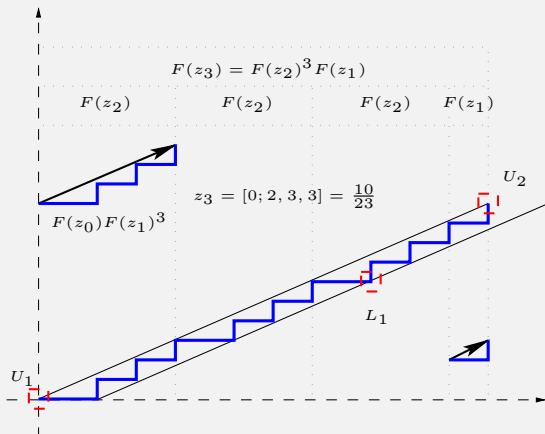
$$\forall P \in C \quad \mu \leq aP_x - bP_y < \mu + |a| + |b|$$



- 1 extraction DSS avec algorithmes optimaux (e.g. [Debled Reveillès 95])
- 2 tangentes discrètes sont des DSS particuliers

Segments de droites discrètes (DSS)

Approche combinatoire [Berstel 97]



$F(z_0) = 0$ (0), $F(z_1) = 0^{u_1} 1$ (001), $F(z_2) = F(z_0)F(z_1)^{u_2}$ (0001001001), ...

n est la **profondeur** du motif z .

- **motif** de pente $z = \frac{p}{q}$
= chemin $U_1 U_2$, codé sur
{0 = pas x, 1 = pas y}

- fractions continues

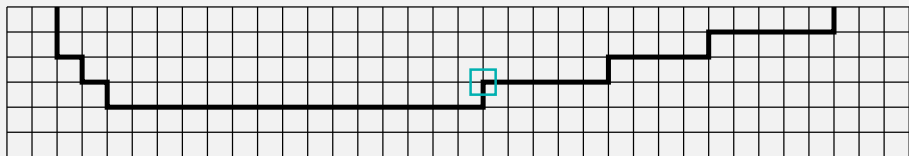
$$z = 0 + \frac{1}{u_1 + \frac{1}{\dots + \frac{1}{u_n}}}$$
$$= [0; u_1, \dots, u_n]$$

- construction récursive

Segments maximaux (MS)

Definition

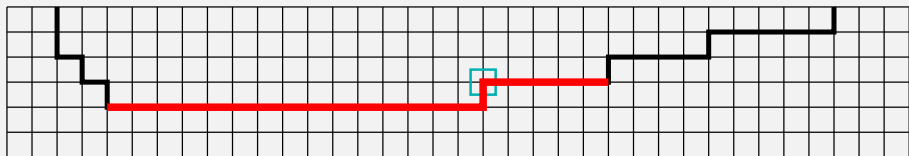
segment maximal sur courbe discrète = DSS qui ne peut pas être étendu à gauche ou à droite et rester encore un DSS.



Segments maximaux (MS)

Definition

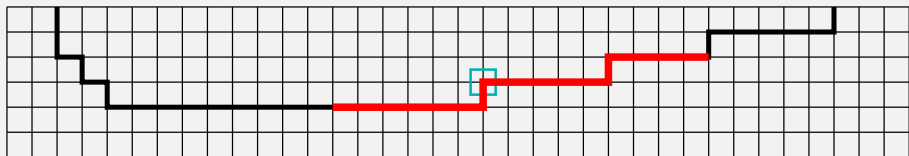
segment maximal sur courbe discrète = DSS qui ne peut pas être étendu à gauche ou à droite et rester encore un DSS.



Segments maximaux (MS)

Definition

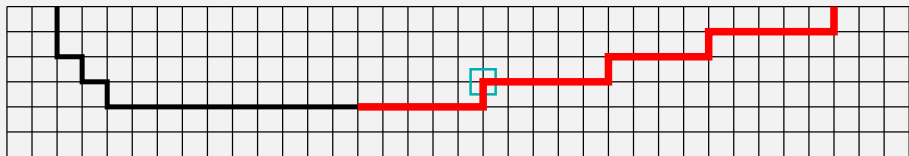
segment maximal sur courbe discrète = DSS qui ne peut pas être étendu à gauche ou à droite et rester encore un DSS.



Segments maximaux (MS)

Definition

segment maximal sur courbe discrète = DSS qui ne peut pas être étendu à gauche ou à droite et rester encore un DSS.

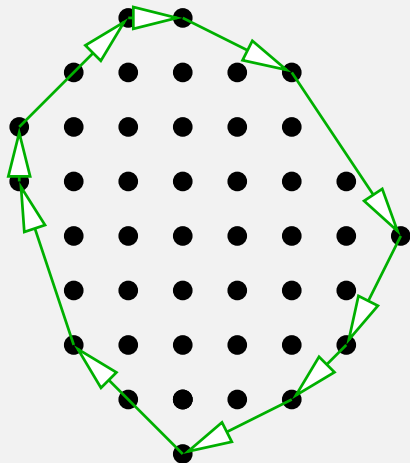


Polygones convexes discrets (CDP)

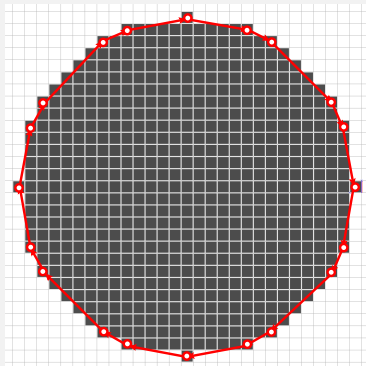
Definition (*polygone convexe discret* (CDP) Γ)

sous-ensemble 4-connexe de \mathbb{Z}^2 égal à la discrétisation de son enveloppe convexe.

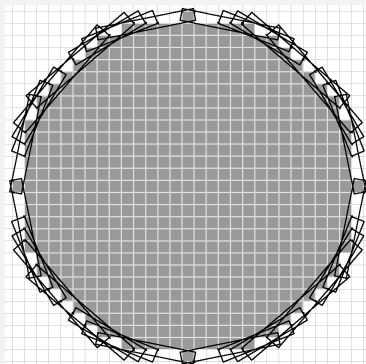
- $n_e(\Gamma) =$ nb de sommets de Γ
- $\text{Per}(\Gamma) =$ périmètre de Γ



Segments maximaux sur bord d'un CDP

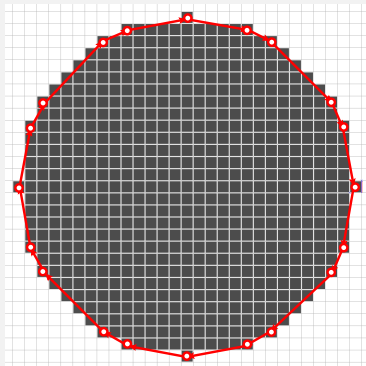


sommets \circ , arêtes

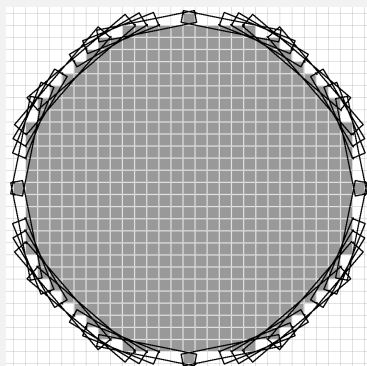


segments maximaux

Segments maximaux sur bord d'un CDP



sommets \circ , arêtes

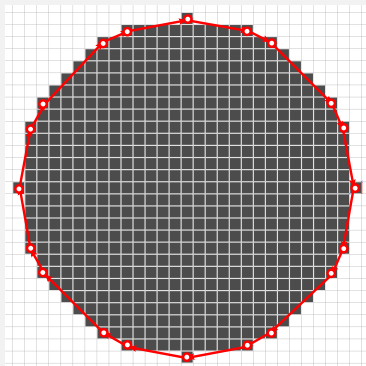


segments maximaux

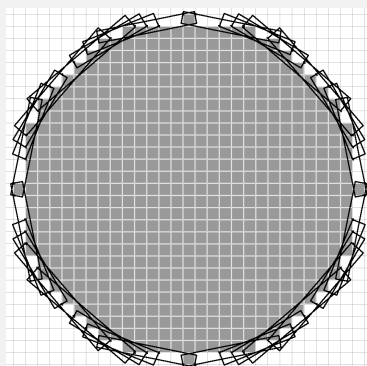
Theorem ([Debled-Rennesson Reiter-Doerksen 04])

Un ensemble 4-connexe de \mathbb{Z}^2 est un CDP ssi les directions des segments maximaux successifs sont monotones.

Segments maximaux sur bord d'un CDP



sommets \circ , arêtes

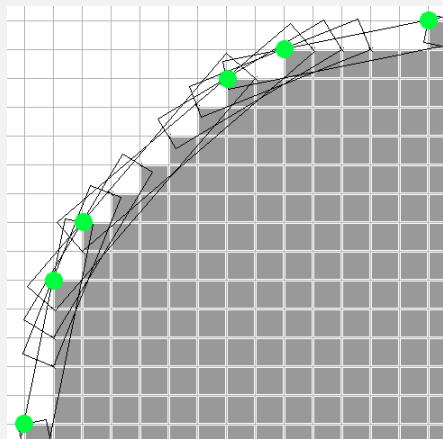


segments maximaux

Theorem ([Feschet 05])

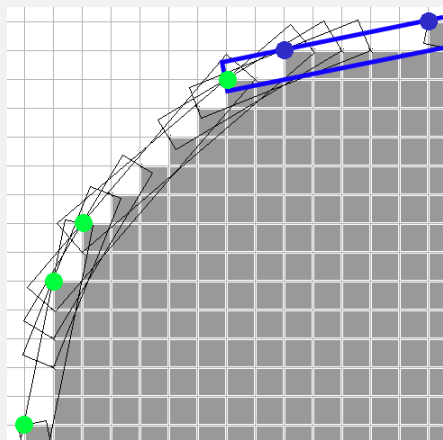
On peut construire des courbes discrètes où autant de segments maximaux que l'on souhaite traversent un même point.

Liens entre arêtes du CDP et segments maximaux



- **convexité** \Rightarrow 2 classes de MS
- Segments maximaux “arête”
- Segments maximaux “sommet”

Liens entre arêtes du CDP et segments maximaux



- **convexité** \Rightarrow 2 classes de MS
- Segments maximaux “**arête**”
pente $z_n =$ pente arête
1 MS “**arête**” par arête

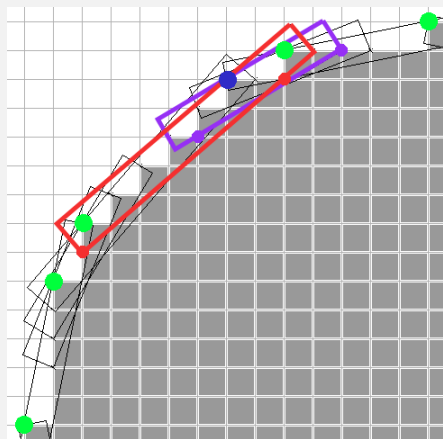
Lemma (basé **motifs**)

MS contient $\leq 2n + 1$ arêtes

Ex : pente $z_n = \frac{1}{5} \Rightarrow 3$ arêtes

- Segments maximaux “**sommet**”

Liens entre arêtes du CDP et segments maximaux



- **convexité** \Rightarrow 2 classes de MS
- Segments maximaux “**arête**”
- Segments maximaux “**sommet**”

Lemma (basé **motifs**)

Max. 2 MS “**sommet**” par sommet
1 prof. pair + 1 prof. impair

$$\text{gauche } \frac{7}{8} = [0; 1, 7], \text{ droite } \\ \frac{3}{5} = [0; 1, 1, 2]$$

Lemma (basé **motifs**)

MS contient $\leq 2n$ arêtes

Nombre de segments maximaux sur CDP

Theorem (Nombre segments maximaux et nombre d'arêtes)

Si Γ CDP inclus dans grille $m \times m$ alors

$$\frac{n_e(\Gamma)}{\Theta(\log m)} \leq n_{MS}(\partial\Gamma) \leq 3n_e(\Gamma)$$

Démonstration.

- Lemmes précédents +
 - plus court DSS de profondeur $n : [0; 2, 2, \dots]$
- \Rightarrow profondeur max. d'un DSS dans $\subset m \times m$



longueurs des segments maximaux sur un CDP

Theorem (somme des longueurs des MS sur CDP)

Sur le bord d'un CDP Γ de segments maximaux $(MS_i)_i$

$$\text{Per}(\Gamma) \leq \sum_i L_D(MS_i) \leq 19\text{Per}(\Gamma)$$

Theorem (longueur moyenne des MS sur CDP)

Si Γ CDP inclus dans grille $m \times m$ alors

$$\frac{1}{3} \frac{\text{Per}(\Gamma)}{n_e(\Gamma)} \leq \frac{\sum_i L_D(MS_i)}{n_{MS}(\partial\Gamma)} \leq 19 \frac{\text{Per}(\Gamma)}{n_e(\Gamma)} \Theta(\log m)$$

longueurs des segments maximaux sur un CDP

Theorem (somme des longueurs des MS sur CDP)

Sur le bord d'un CDP Γ de segments maximaux $(MS_i)_i$

$$\text{Per}(\Gamma) \leq \sum_i L_D(MS_i) \leq 19\text{Per}(\Gamma)$$

Theorem (longueur moyenne des MS sur CDP)

Si Γ CDP inclus dans grille $m \times m$ alors

$$\frac{1}{3} \frac{\text{Per}(\Gamma)}{n_e(\Gamma)} \leq \frac{\sum_i L_D(MS_i)}{n_{MS}(\partial\Gamma)} \leq 19 \frac{\text{Per}(\Gamma)}{n_e(\Gamma)} \Theta(\log m)$$

asymptotique CDP \Rightarrow asymptotique MS

Theorem (Balog Bárány 91)

Soit $S \in \mathcal{C}^3$ – convexe. Le nombre d'arêtes de sa discrétisation suit

$$c_1(S) \frac{1}{h^{\frac{2}{3}}} \leq n_e(\text{Dig}_G(S, h)) \leq c_2(S) \frac{1}{h^{\frac{2}{3}}}$$

Theorem (Asymptotique nombre et long. des segments maximaux)

Soit $S \in \mathcal{C}^3$ – convexe. Si S_h est le CDP $\text{Dig}_G(S, h)$.

$$(\text{nombre}) \quad \Theta\left(\frac{1}{h^{\frac{2}{3}} \log \frac{1}{h}}\right) \leq n_{MS}(\partial S_h) \leq \Theta\left(\frac{1}{h^{\frac{2}{3}}}\right)$$

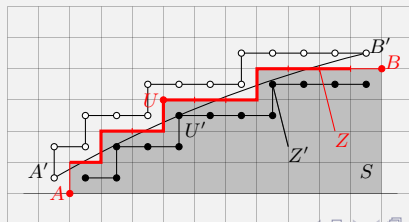
$$(\text{long. dis.}) \quad \Theta\left(\frac{1}{h^{\frac{1}{3}}}\right) \leq L_D \text{ moyenne MS sur } \partial S_h \leq \Theta\left(\frac{1}{h^{\frac{1}{3}}} \log \frac{1}{h}\right)$$

Résumé asymptotique segments maximaux

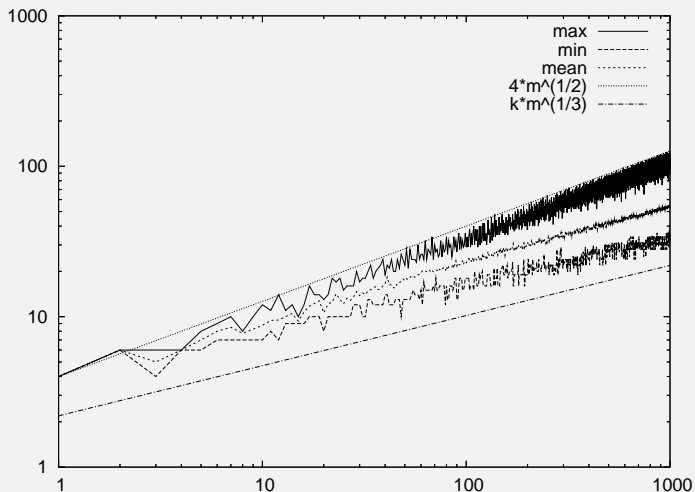
Sur les discrétisées de formes C^3 -convexes ($\kappa > 0$).

	plus court	moyenne	plus long
$L_D(MS)$	$\Omega\left(\frac{1}{h^{\frac{2}{3}}}\right)$	$\Theta\left(\frac{1}{h^{\frac{2}{3}}}\right) \leq \cdot \leq \Theta\left(\frac{1}{h^{\frac{2}{3}}} \log \frac{1}{h}\right)$	$\mathcal{O}\left(\frac{1}{h^{\frac{1}{2}}}\right)$
$L(MS)$	$\Omega\left(h^{\frac{2}{3}}\right)$	$\Theta\left(h^{\frac{2}{3}}\right) \leq \cdot \leq \Theta\left(h^{\frac{2}{3}} \log \frac{1}{h}\right)$	$\mathcal{O}\left(h^{\frac{1}{2}}\right)$

- plus long MS = $\mathcal{O}\left(\frac{1}{h^{\frac{1}{2}}}\right)$ (géométrie)
- plus court MS = $\Omega\left(\frac{1}{h^{\frac{1}{3}}}\right)$ (cercles séparants)

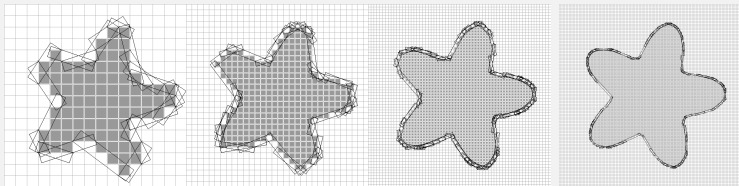


Vérification expérimentale



Estimateurs géométriques

(tangente) estimateurs basés MS sont **multigrille convergents**



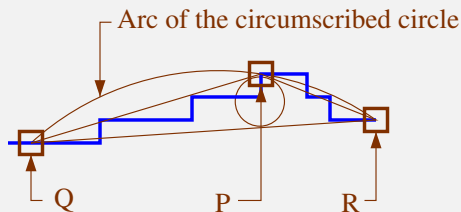
- long. discrète du + petit MS grandit en $1/h^{1/3}$
 - long. euclidienne $\geq h^{2/3}$ et épaisseur en h
 - bord de S enfermé dans un tube + Taylor
- \Rightarrow **convergence uniforme** en $h^{1/3}$

(courbure) estimateur par cercle circonscrit aux demi-tangentes

Estimateurs géométriques

(tangente) estimateurs basés MS sont **multigrille convergents**

(courbure) estimateur par cercle circonscrit aux demi-tangentes



- convergent si demi-tangentes grandissent en $1/h^{\frac{1}{2}}$ [Coe02]
- **non** car demi-tangentes \subset MS
- expérimentalement non convergent

Discussion

- propriétés asymptotiques des parties linéaires des bords discrétisés
- convergence multigrille d'estimateurs géométriques discrets

Quantité	estimateur	Unif. convergent	Conv. moyenne
position	$\hat{\chi}^{\text{conv}}$	$\mathcal{O}(h)$	$\mathcal{O}(h^{\frac{4}{3}})$
tangente	tan. sym.	non	?
tangente	$\hat{\theta}^{\text{conv}}$?	$\mathcal{O}(h^{\frac{2}{3}})$
tangente	$\hat{\theta}^{\text{MS}}$	$\mathcal{O}(h^{\frac{1}{3}})$	$\mathcal{O}(h^{\frac{2}{3}})$
courbure	Cercle circ.	non	exp. non
courbure	Variation tang. sym.	non	non

Quantité	estimateur	B. sup erreur
longueur	$\int \hat{\theta}^{\text{MS}}$	$\mathcal{O}(h^{\frac{1}{3}})$
intégrale	mesure discrète	$\mathcal{O}(h^{\frac{1}{3}})$

thèse de François de Vieilleville, collaboration avec Fabien Feschet (LAIC)

[J. Mathematical Image Vision 06]

[SCIA05,DGCI06,ISVC06],[HdR06]

Conclusion

Comment diminuer la complexité des modèles déformables ?

Modèle déformable en géométrie riemannienne

- moins de variables, moins d'itérations
- nb de variables fonction de la géométrie image

Analogie combinatoire des modèles déformables ?

Modèle déformable discret asymptotiquement euclidien

$$E(O) = \sum_{\sigma \in \partial O} (\alpha + \beta \hat{\kappa}^2(\sigma) + P(I, \sigma)) \hat{l}(\sigma)$$

- Oui pour α quelconque, potentiel P quelconque, mais $\beta = 0$
- \forall estimateur tangente $\hat{\theta}$ basé segments maximaux, $\hat{l} = |\cos(\hat{\theta})|$

Nouveaux résultats

- représentation, topologie, géométrie des surfaces discrètes
- estimateurs géométriques, convergence multigrille
- géométrie discrète asymptotique

Conclusion

Comment diminuer la complexité des modèles déformables ?

Modèle déformable en géométrie riemannienne

- moins de variables, moins d'itérations
- nb de variables fonction de la géométrie image

Analogie combinatoire des modèles déformables ?

Modèle déformable discret asymptotiquement euclidien

$$E(O) = \sum_{\sigma \in \partial O} (\alpha + \beta \hat{\kappa}^2(\sigma) + P(I, \sigma)) \hat{l}(\sigma)$$

- **Oui** pour α quelconque, potentiel P quelconque, mais $\beta = 0$
- \forall estimateur tangente $\hat{\theta}$ basé segments maximaux, $\hat{l} = |\cos(\hat{\theta})|$

Nouveaux résultats

- représentation, topologie, géométrie des surfaces discrètes
- estimateurs géométriques, convergence multigrille
- géométrie discrète asymptotique

Conclusion

Comment diminuer la complexité des modèles déformables ?

Modèle déformable en géométrie riemannienne

- moins de variables, moins d'itérations
- nb de variables fonction de la géométrie image

Analogie combinatoire des modèles déformables ?

Modèle déformable discret asymptotiquement euclidien

$$E(O) = \sum_{\sigma \in \partial O} (\alpha + \beta \hat{\kappa}^2(\sigma) + P(I, \sigma)) \hat{l}(\sigma)$$

- **Oui** pour α quelconque, potentiel P quelconque, mais $\beta = 0$
- \forall estimateur tangente $\hat{\theta}$ basé segments maximaux, $\hat{l} = |\cos(\hat{\theta})|$

Nouveaux résultats

- représentation, topologie, géométrie des surfaces discrètes
- estimateurs géométriques, convergence multigrille
- géométrie discrète asymptotique

Modèles déformables

- partitions déformables : algorithmes d'optimisation (pyramides, stochastiques, graph-cuts)
thèse de Martin Braure de Calignon, collaboration avec Luc Brun
[\[ISVC06\]](#)
- projet ANR FoGRIMMI : modèles déformables discrets pour analyse de très grandes images.

Géométrie discrète

- estimateurs géométriques : courbure convergente ?, estimateurs de tangente de meilleure vitesse de convergence
- projet ANR GeoDIB : Géométrie des objets discrets bruités
étude des segments maximaux *épais*